# 2024年度NEDO再生可能エネルギー部成果報告会プログラムNo.4

地熱発電導入拡大研究開発 /超臨界地熱資源技術開発 /超臨界地熱資源量評価(八幡平地域)

発表日: 2024年12月18日

### 国立研究開発法人 新エネルギー・産業技術総合開発機構

### 岩﨑隆一

三菱マテリアルテクノ(株), 地熱解析(株)

問い合わせ先 三菱マテリアルテクノ (株) 担当:岩﨑 E-mail: tiwasaki@mmc.co.jp TEL: 03-6628-6913

## 事業概要



### 1. 背景・目的

「超臨界地熱発電技術研究開発」の一環として、超臨界地熱資源の分布、性状、 規模等を把握することを目的に、超臨界地熱資源システムが形成される可能性 が高い地域における超臨界水状態把握と資源量評価の詳細検討を行う。

- 2. 実施期間 2021年6月 ~ 2024年3月
- 3. 実施内容・目標

対象地域(モデルフィールド):「八幡平地域」(岩手県八幡平市)研究開発項目:地表調査,資源量評価,調査井仕様の検討,経済性評価最終目標:地表調査を行うことで、地下5km以浅に超臨界領域(あるいはそれに準じた高温領域)を特定し、超臨界地熱資源の質、量及び規模を定量的に評価する(1地域あたり100MW規模)。

### 4. 成果概要

電磁探査と微小地震観測の結果から本地域の熱源構造を抽出し、数値シミュレーションを通じて、超臨界地熱資源の存在と従来型地熱資源も含む本地域の地熱系を説明可能なモデルの構築に成功し、資源量評価を行った。

## 対象地域

### 「八幡平地域」(岩手県八幡平市)

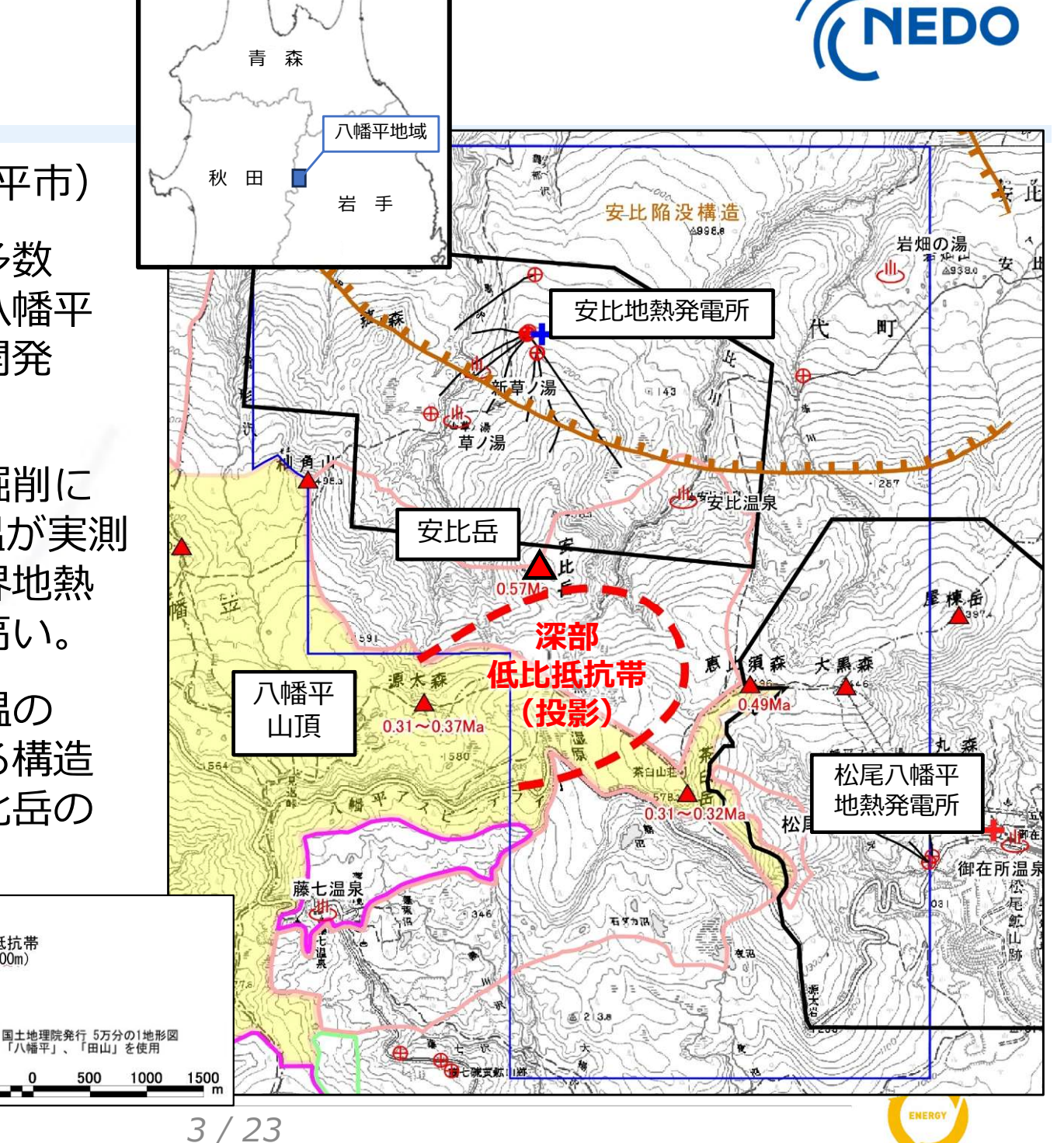
- ▶ 本地域には第四紀火山が多数 分布し、安比および松尾八幡平 地域で従来型地熱資源の開発 が行われている。
- ▶ 過去の地熱調査における掘削に より、300℃を超える高温が実測 で確認されており、超臨界地熱 資源が賦存する可能性が高い。
- ▶ 前回PJにおいて、その高温の 地熱資源の熱源とみられる構造 (深部低比抵抗帯)が安比岳の 南方深部に検出された。

第四紀火山(年代値)

十和田八幡平国立公園

第1種特別地域

/ 深部低比抵抗帯 (標高-3000m)



調査範囲

□ 既開発エリア

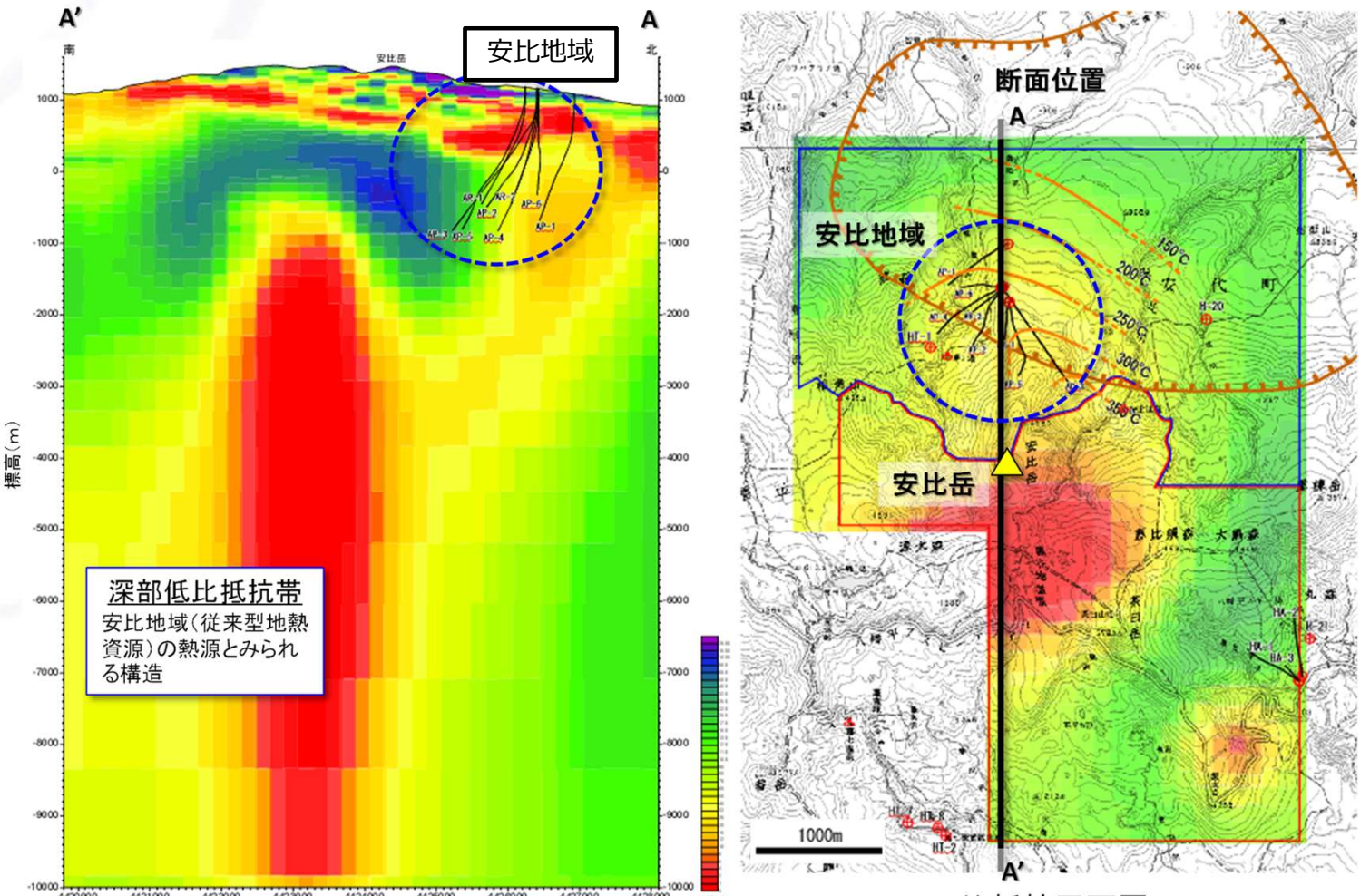
地熱発電所(建設中)

## 電磁探査による熱源構造の抽出



### MT法電磁探査により検出された深部低比抵抗帯

(前回PJ: 2019~2020年度成果)



比抵抗断面図(南北: A-A'断面)

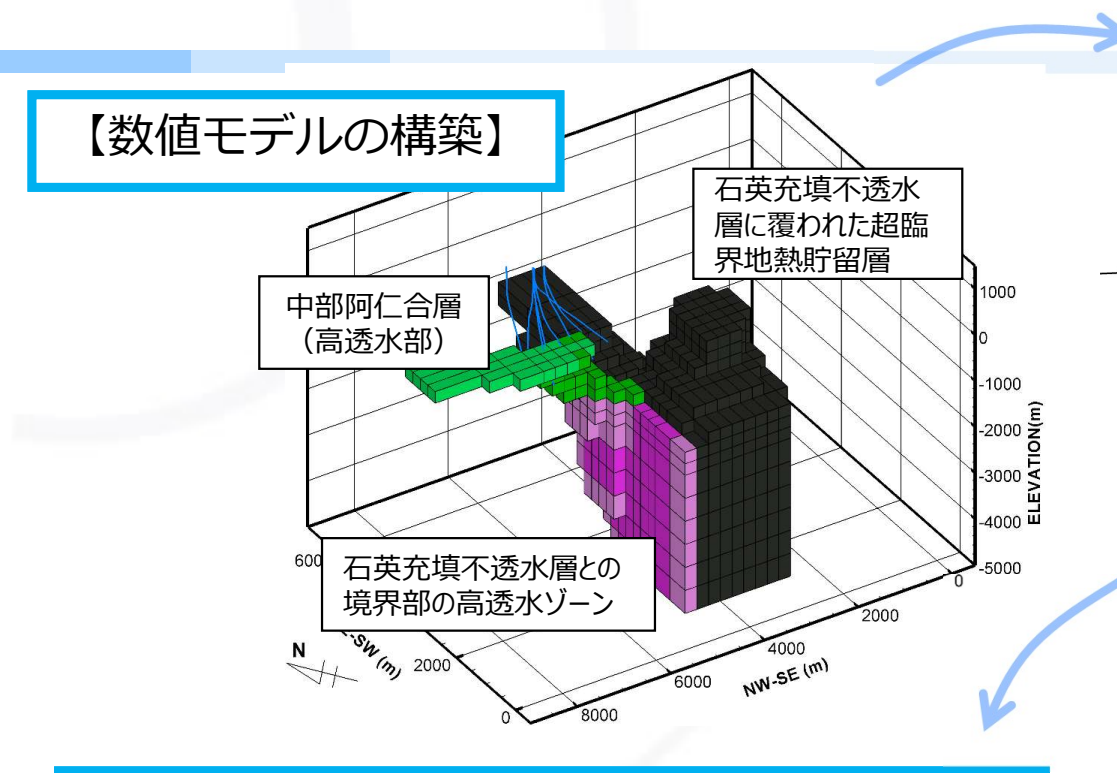
比抵抗平面図 (標高-3000mの比抵抗分布を投影)

CIRCULAR BIO

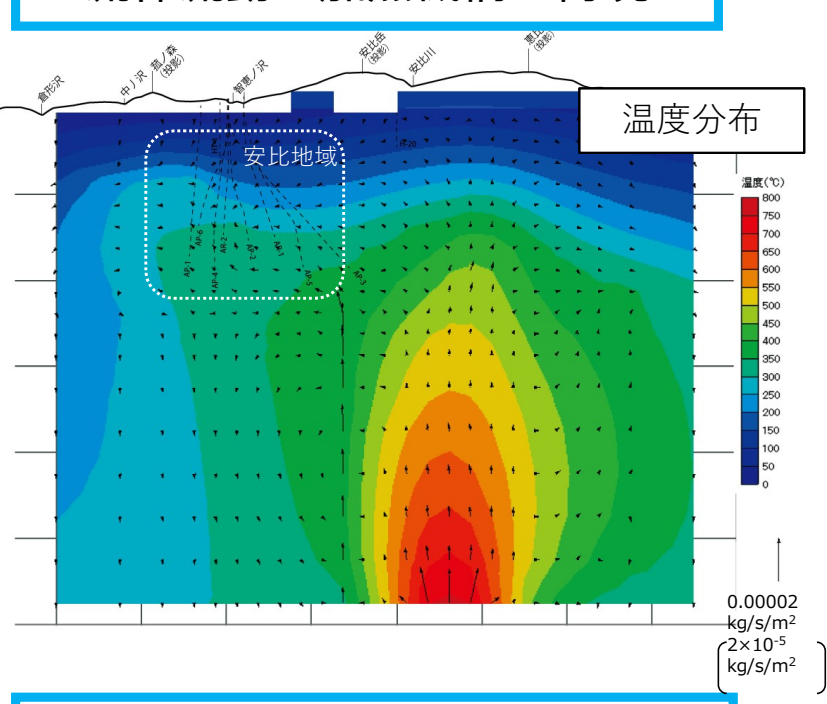
国土地理院発行 5万分の1地形図 「八幡平」・「田山」を使用

## 資源量評価の流れ

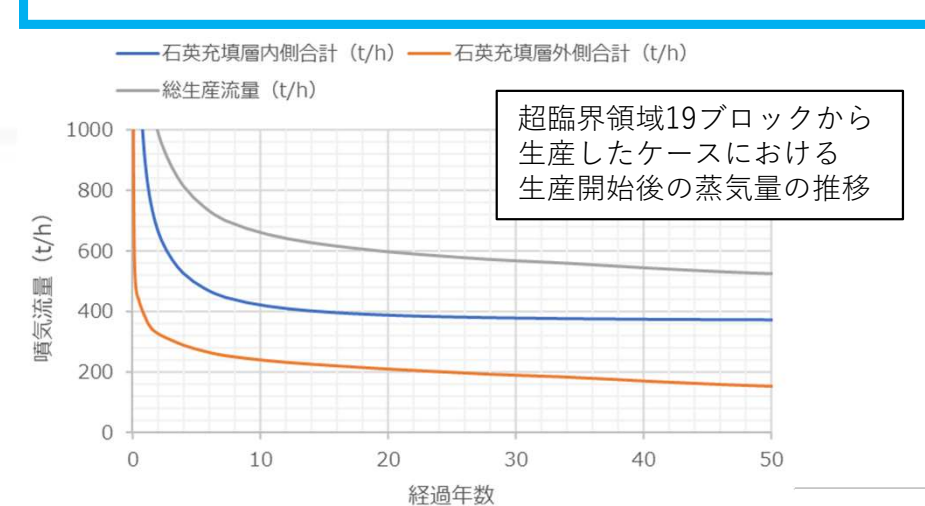




### 【自然状態シミュレーション】 流体流動・加熱機構の再現



### 【生産予測シミュレーション】蒸気量を推定



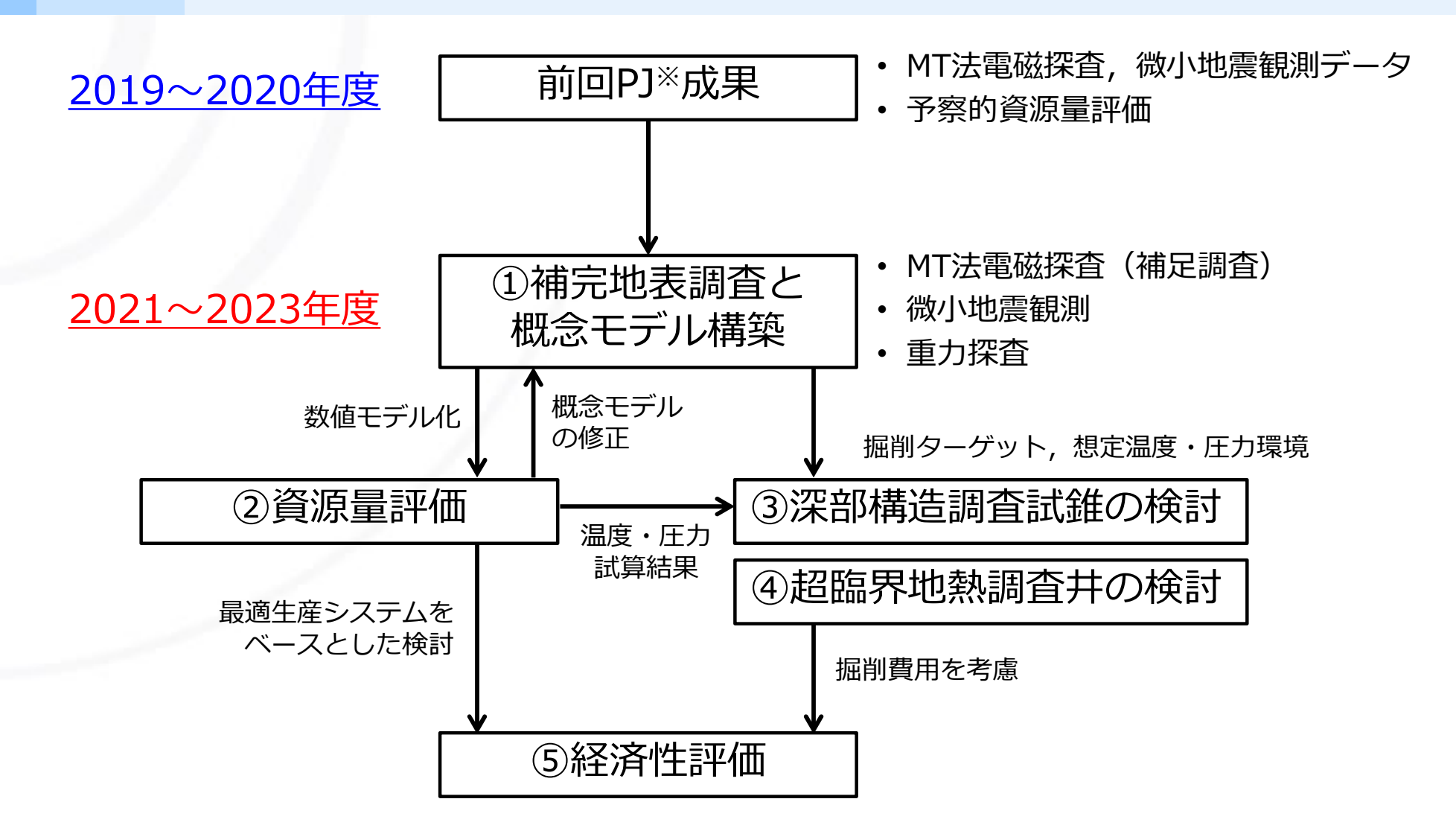
### 【前回PJでの資源量評価結果】

手法名	超臨界地熱資源量		
モンテカルロ容積法	<b>170</b> MW (40~300MW)		
数値モデルによる 生産予測	<b>110</b> MW (生産開始10年後)		



## 研究開発項目とフロー





※2019~2020年度「超臨界地熱発電技術研究開発/超臨界地熱資源の評価と調査井仕様の詳細設計/ 八幡平地域における超臨界地熱資源の評価に関する研究開発」





# 研究成果



研究成果 地表調查: MT法電磁探查

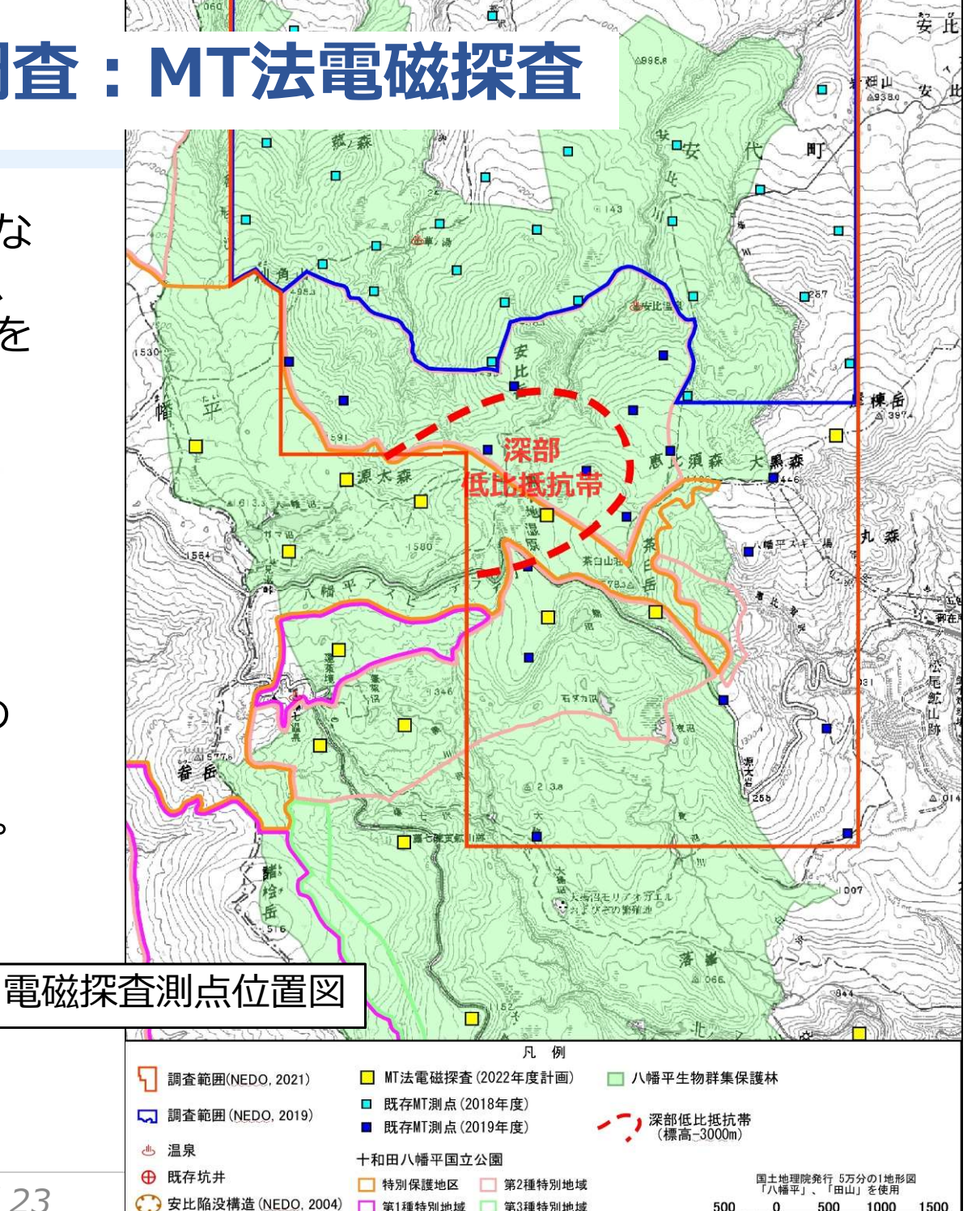
熱源構造(深部低比抵抗帯)の正確な 把握のための精度向上を目的として、 許可を得て、国立公園特別保護地区を 含む範囲で補足調査を行った。

【測点】14測点

【観測期間】 2023年8月21日~9月5日

【データ解析】

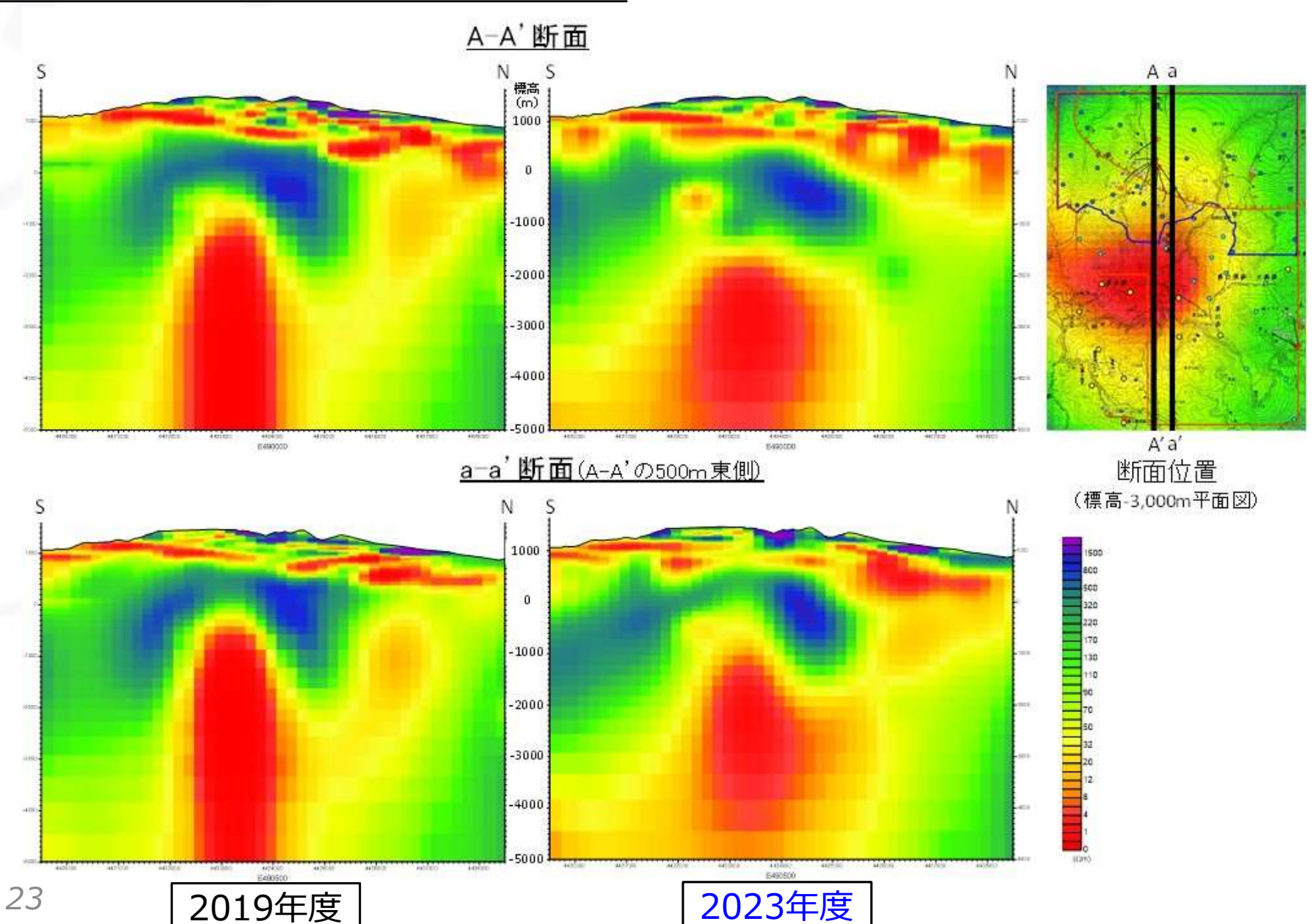
既存の47測点を加えた計61測点の データによる3次元解析を行い、 前回PJ解析結果との比較を行った。



## 研究成果 地表調查: MT法電磁探查



### 測点追加による比抵抗分布形状の変化



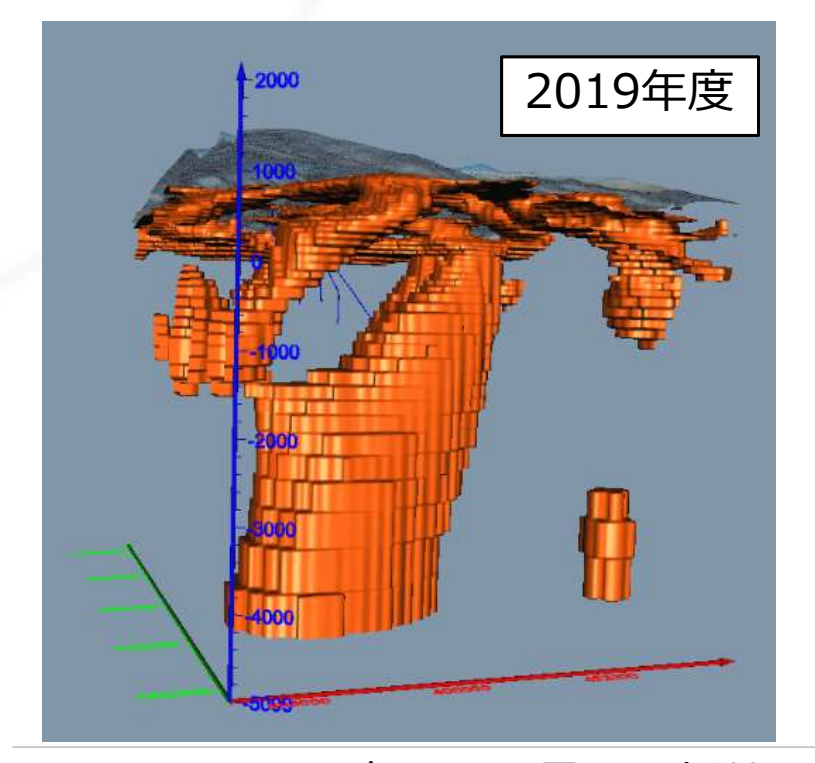
9 / 23

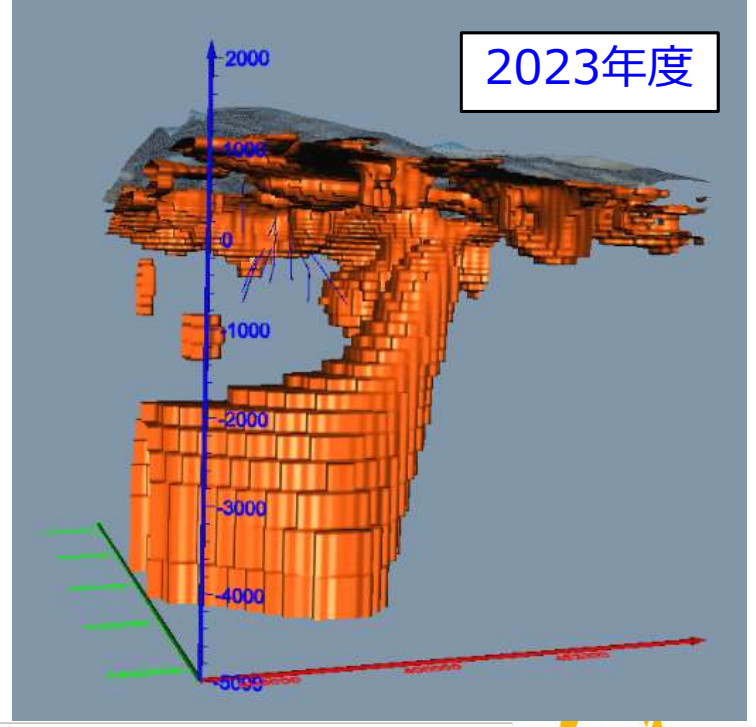
## 研究成果 地表調査: MT法電磁探査



### 2023年度解析結果についての解釈と評価

- ▶ 測点を追加した南側、特に南西部では、2019年度の解析結果と異なる 分布形状となったが、測点を追加し、測点配置の偏りを小さくしたこ とで、解析精度が向上したものと考えられる。
- ▶ 今回、国立公園の特別保護地区内での調査が認められたことが、精度 向上に大きく役立った。







## 研究成果 地表調查:微小地震観測

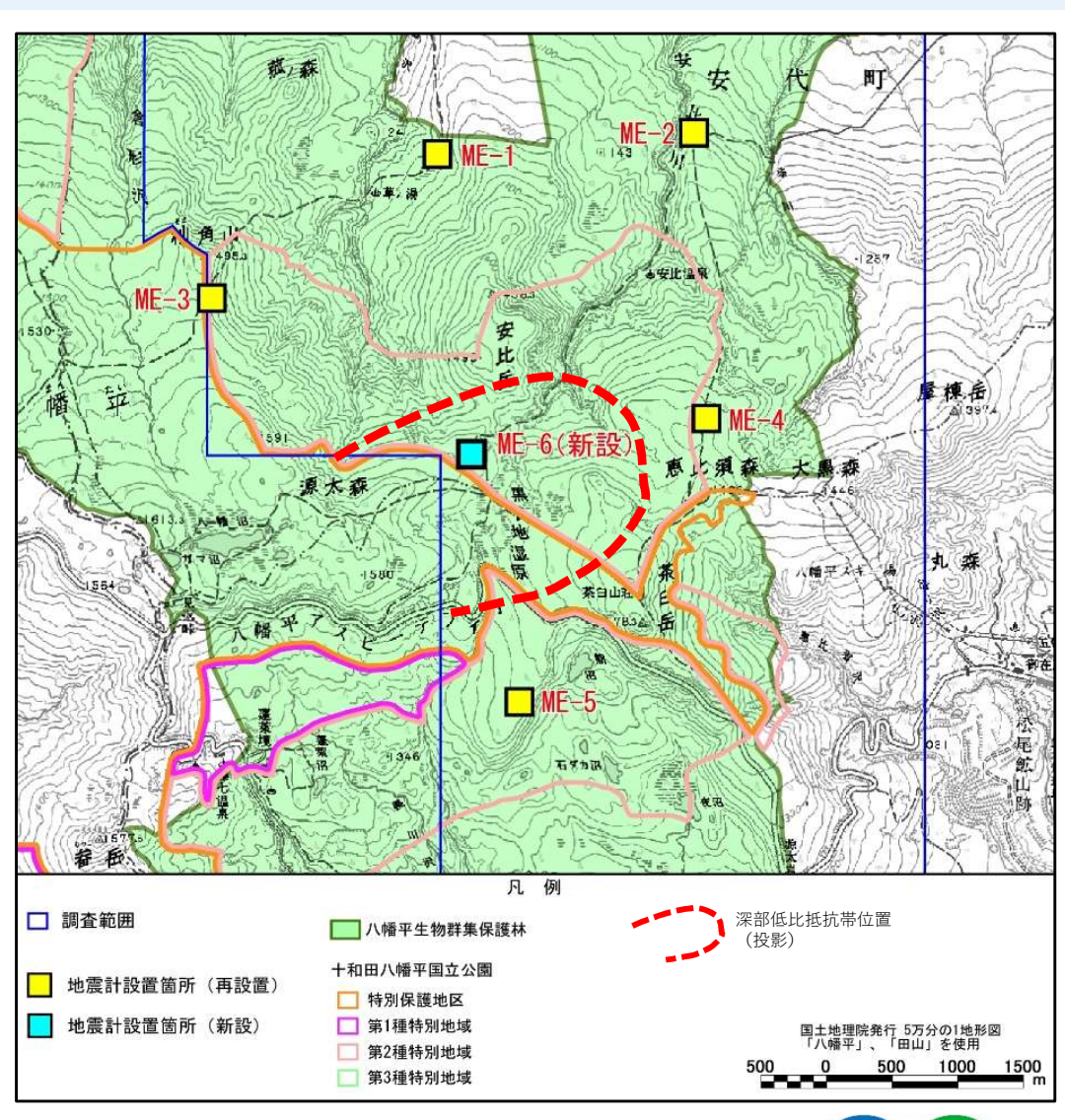


超臨界領域では、岩石は延性的な挙動 を示し、微小地震の発生は少ないと 考えられることから、微小地震観測 により震源分布を把握し、超臨界領域 の分布を推定する。

【微小地震観測点】 6測点 (ME-1~6)

【観測期間】 2021年9月14日~2023年7月4日





微小地震観測点位置図

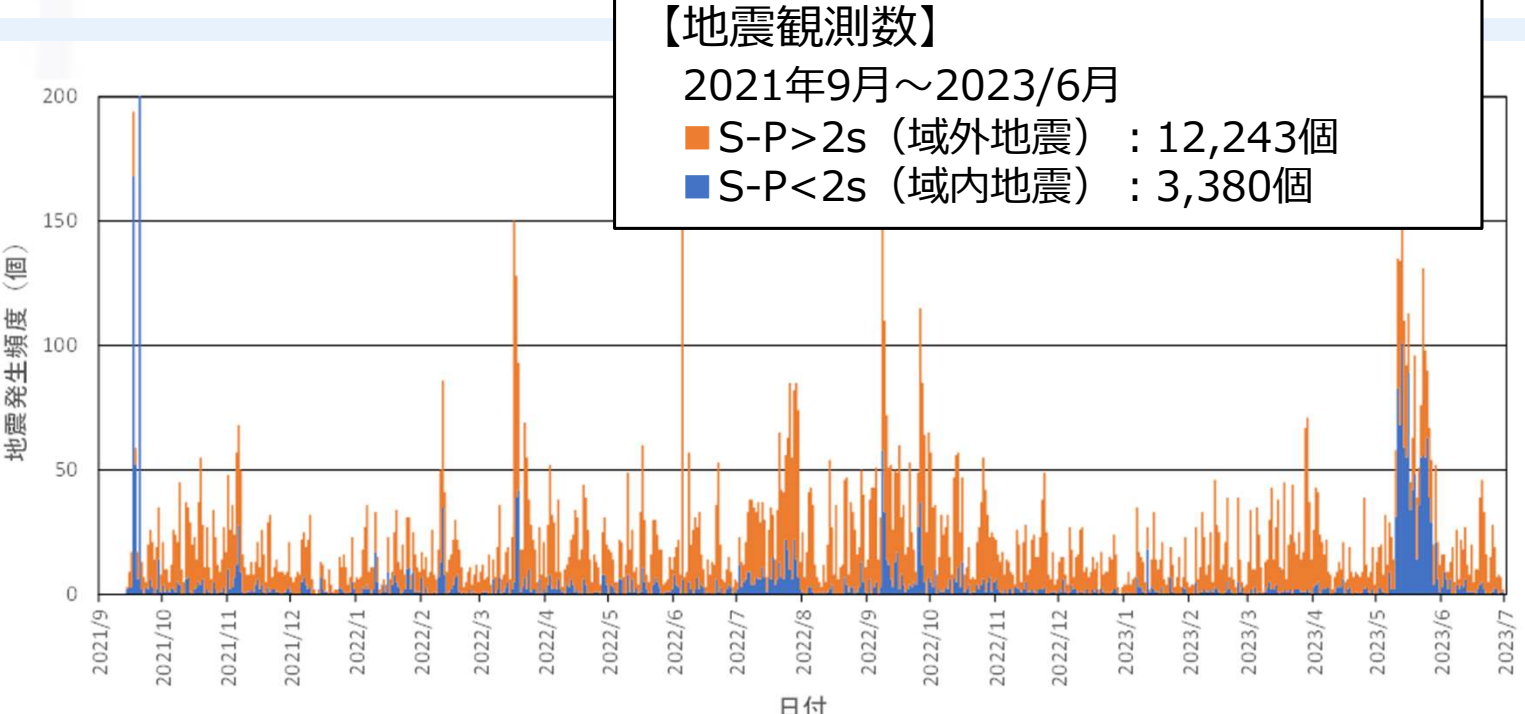


## 研究成果 地表調查:微小地震観測



### 【震源解析】

S-P差が約2秒以内の 明瞭な地震を抽出し、 震源解析を実施



震源決定:

Hirata & Matsu'ura(1987)を使用

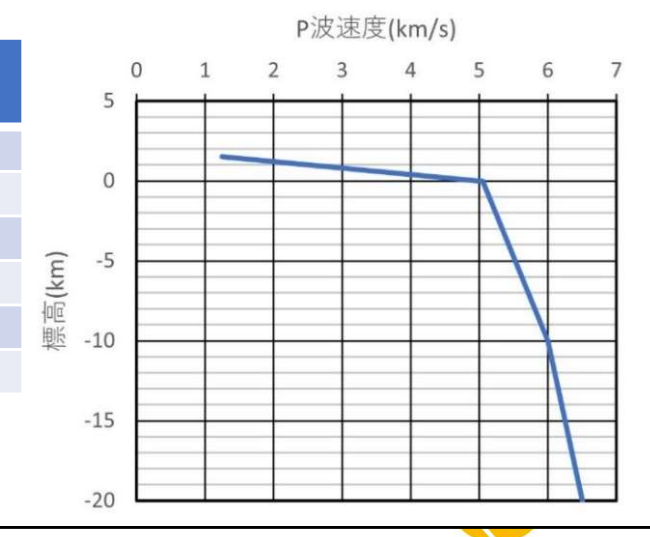
- マグニチュードの算出: 渡辺(1971)を使用
- 速度構造:

地熱開発促進調査・八幡平東部地域 (NEDO, 1981) 及び日本列島下の 三次元地震波速度構造モデル (NIED) より設定

(S波速度構造はVp/Vs=1.73)

P波速度 深度 (km) (Vp, km/sec) 0.00 5.00 0.02 5.05 10.0 6.00 20.0 6.50 40.0 7.50 600 8.20

地震波速度構造モデル



国立研究開発法人 新エネルギー・産業技術総合開発機構

12 / 23

## 研究成果

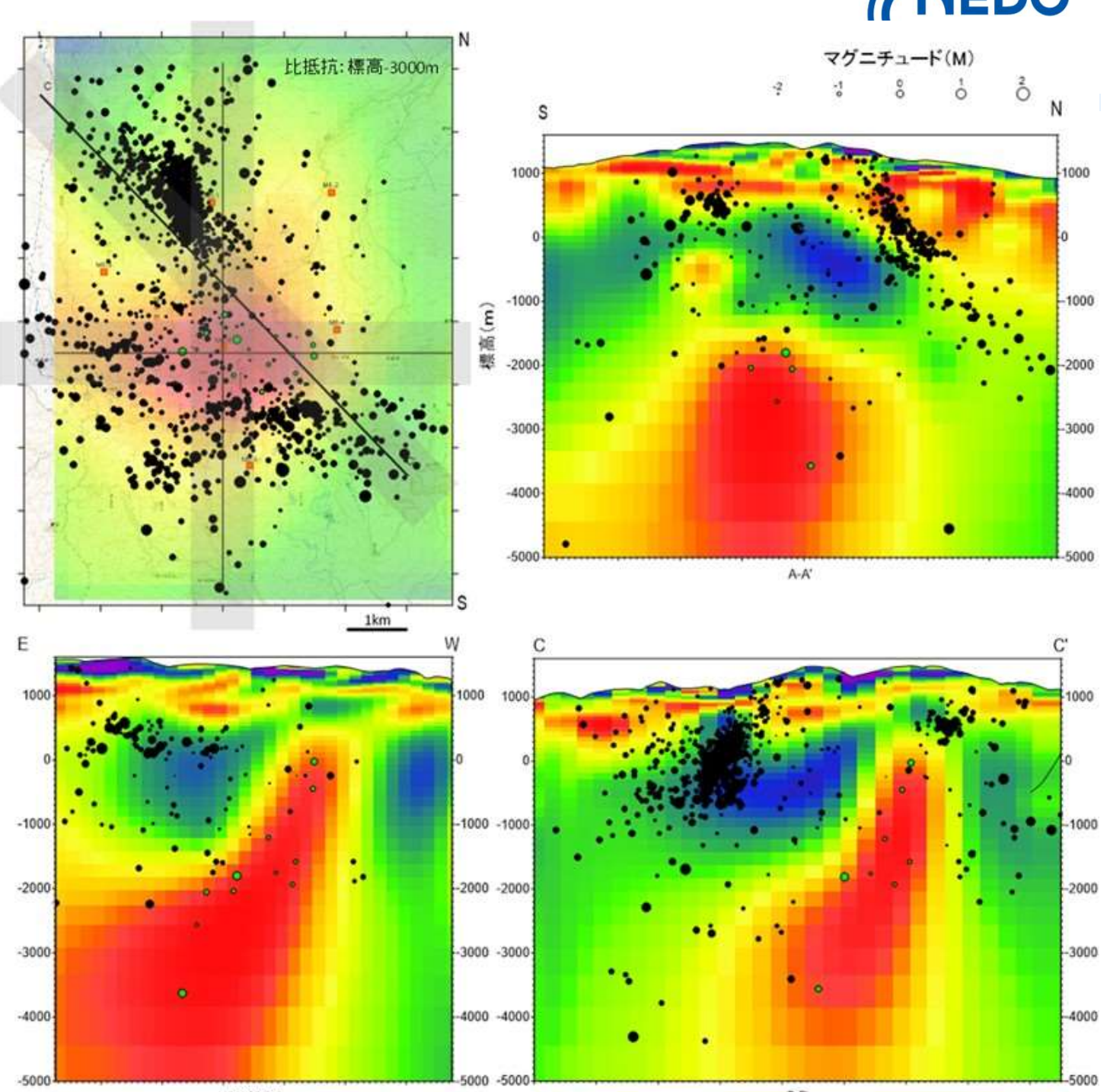
### 地表調查:微小地震観測



### 微小地震震源分布

2020年8月~10月(前回PJ) 2021年9月~2023年6月

- 決定された震源のうち 誤差200m以内の震源 (1,532点)をプロット
- 断面図には各断面の両側500m範囲の震源を表示
- 安比地域の坑井工事に 関連するとみられる震源 (北西部の集中域)と、 茶臼岳~八幡平にかけて 震源が集中的に分布。
- ・ 深部低比抵抗帯の内部 では地震が少ない
- : 深部低比抵抗帯内の震源



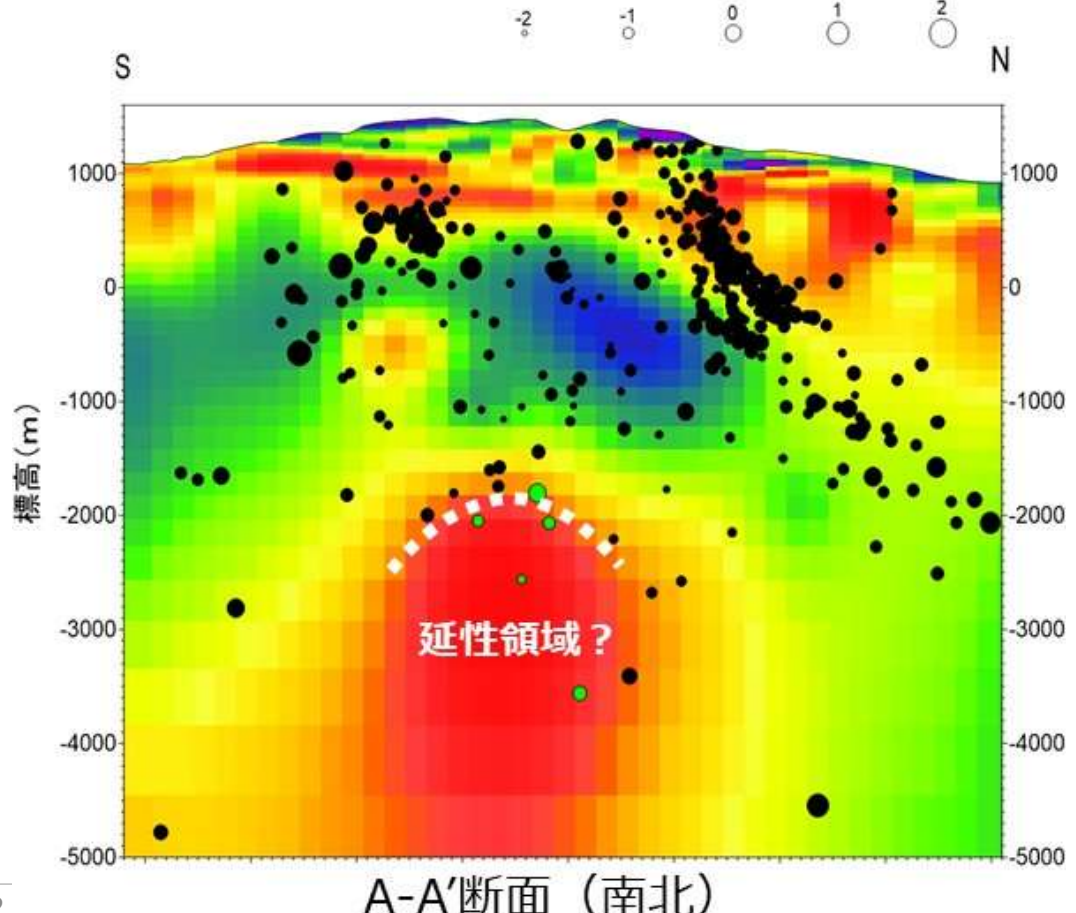
## 研究成果 地表調查:微小地震観測



マグニチュード(M)

### 微小地震震源分布とその解釈

- 震源分布は、浅部に多く、深部低比抵抗帯内部 には少ない傾向を示し、その範囲において延性的 な環境である可能性を示唆した。
- 震源分布と比抵抗分布との比較では、 今年度の比抵抗再解析の結果との 方がより調和的であることから、 MT法電磁探査の測点追加による精度 向上を裏付けるものと考えられる。

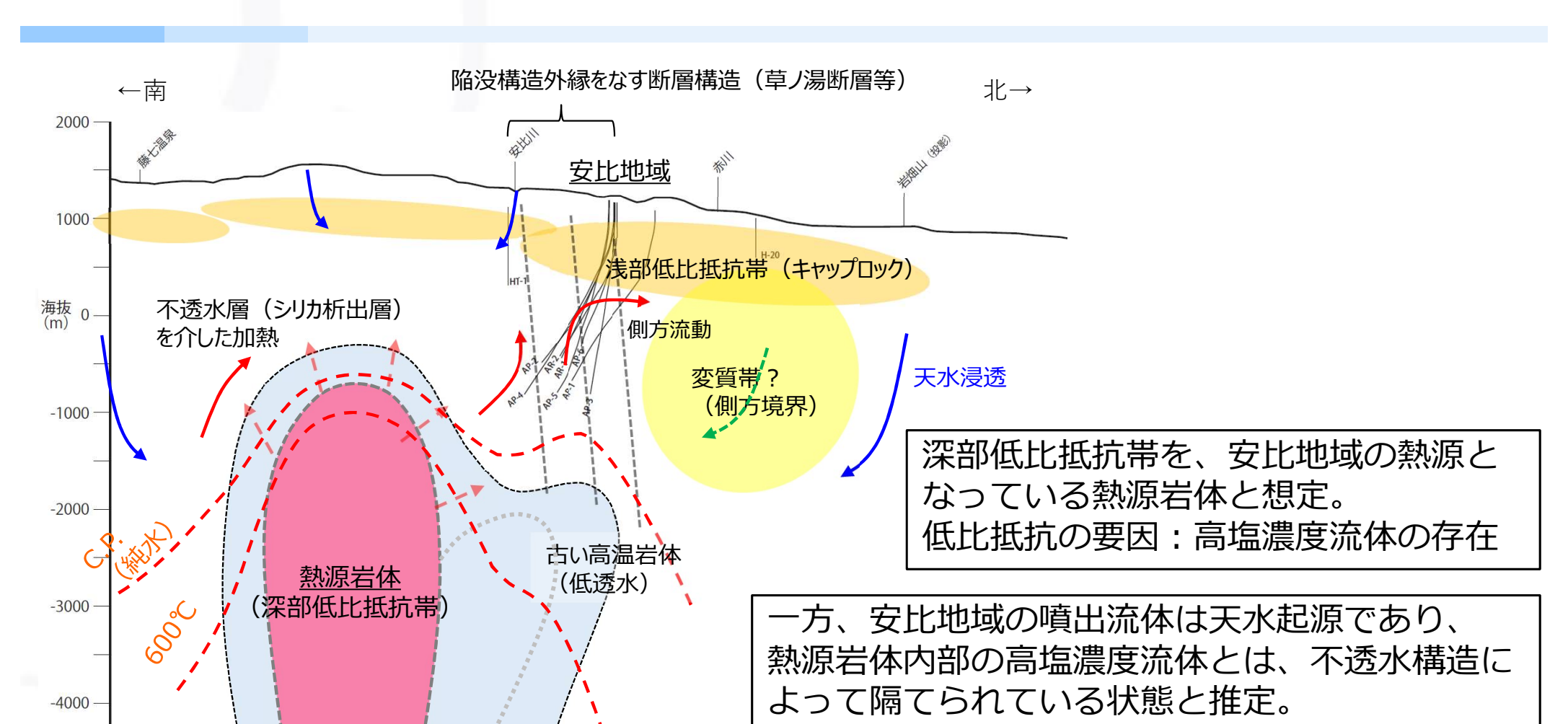


: 深部低比抵抗帯内の震源

国立研究開発法人 新エネルギー・産業技術総合開発機構

## 研究成果本地域の概念モデル



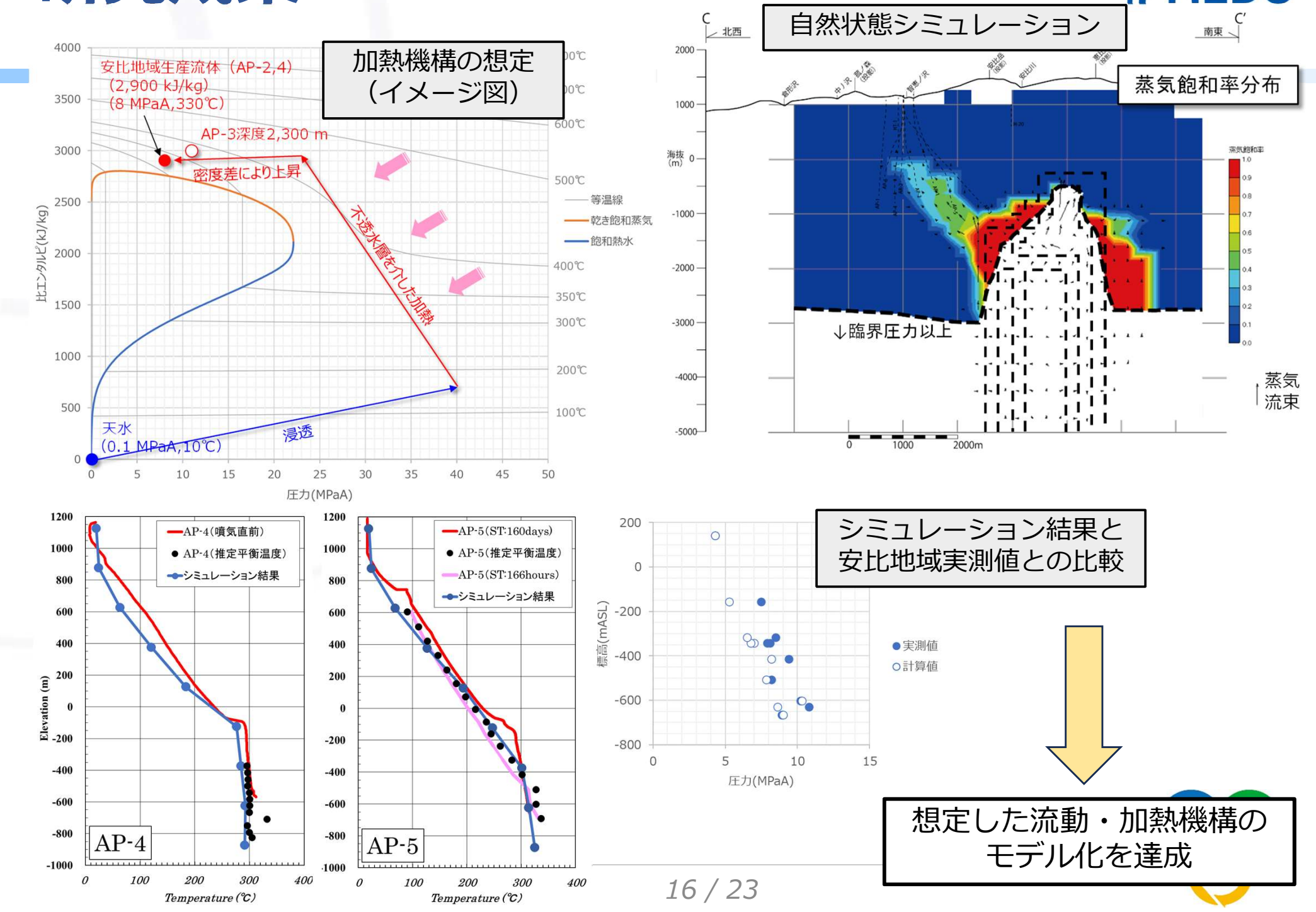


その場合、浸透した天水は、不透水層を介した 熱交換により加熱され、通路となる構造(断層, 陥没構造)を通じて流動し、現在の安比地域 地熱貯留層を形成したと解釈される。

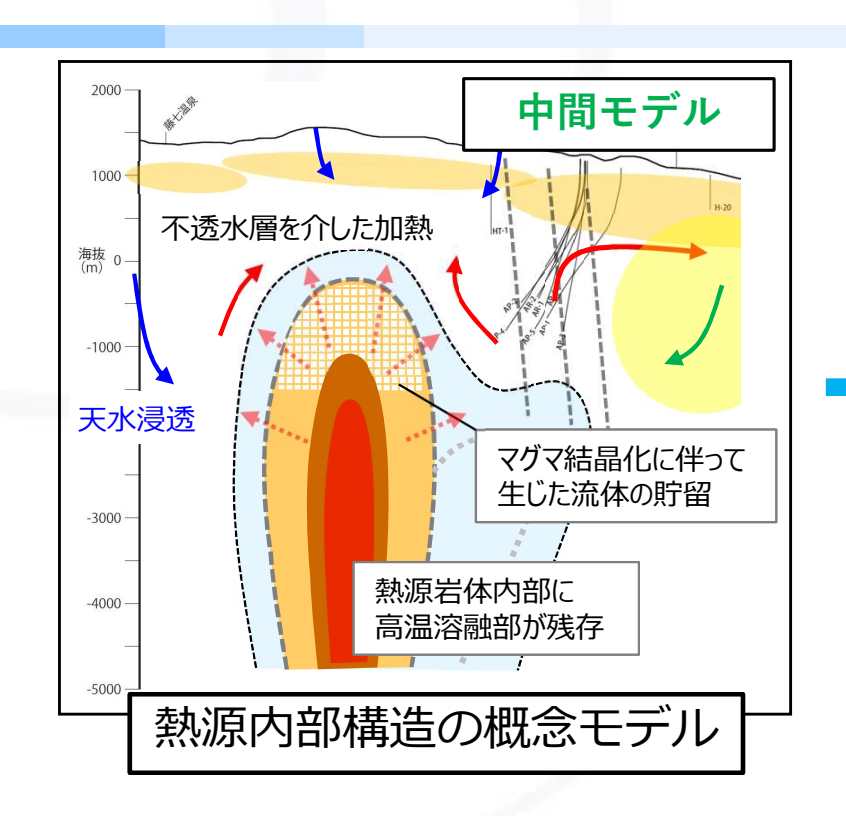
(比抵抗分布に明瞭なコントラスト)

-5000

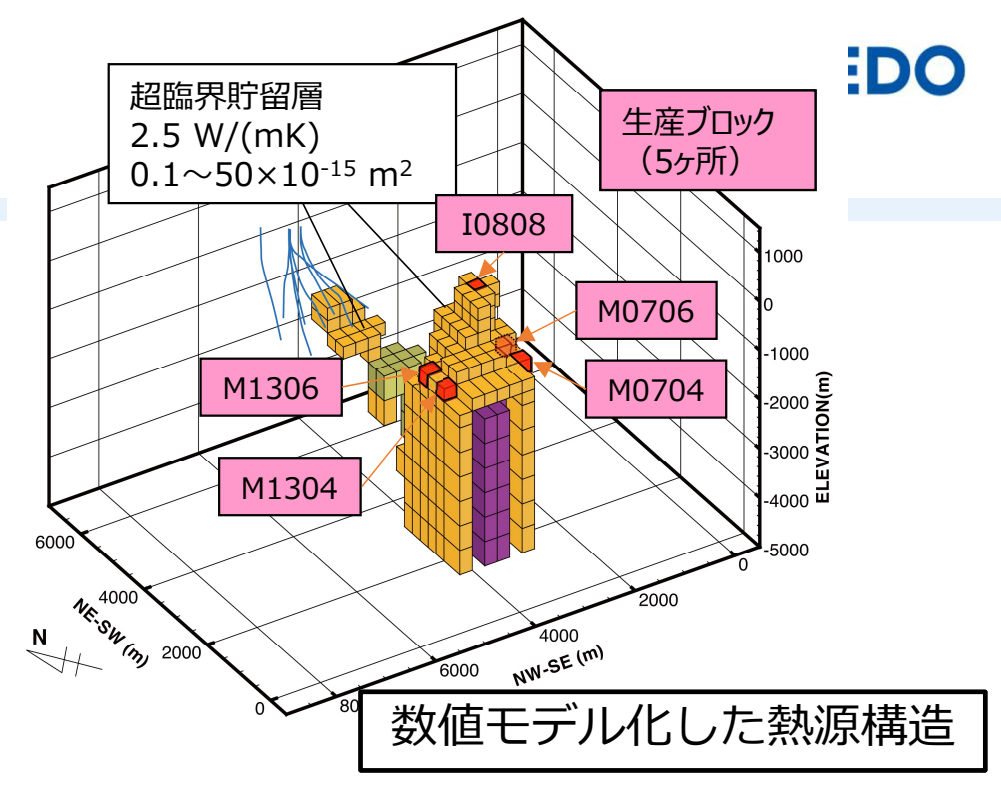
## 研究成果 自然状態シミュレーションによる妥当性評価

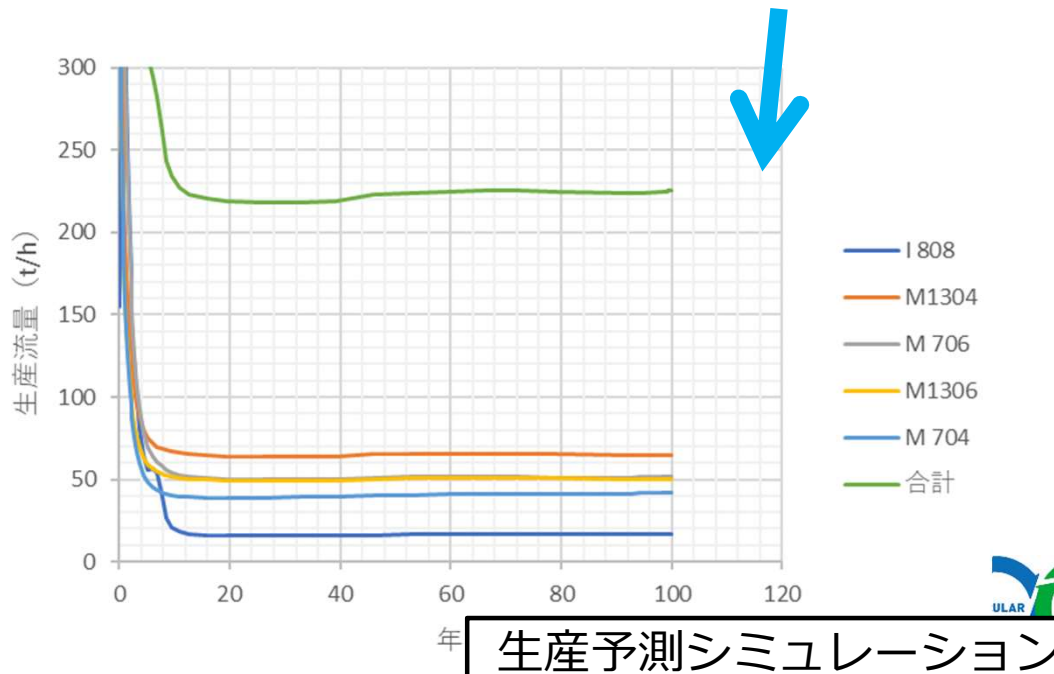


## 研究成果 資源量評価



- 熱源内部に想定した超臨界 貯留層から蒸気を生産した 場合の生産流量を計算。
- 浸透率等の未知パラメータ を変化させ、とりうる生産 流量の範囲を推定。





## 研究成果 資源量評価:生産予測

生産予測シミュレーション:20年生産流量での比較(生産井5本)

20年後生産流量(t/h)

超臨界貯留層	超臨界貯留層浸透率 (×10 <sup>-15</sup> m <sup>2</sup> )						
底面境界圧力	0.02	0.1	0.2	2	20	50	
(MPaA)	(参考)	(ワースト)	(ミドル)			(ベスト)	
30	6.5	*	*	45.8	324	542	
40	*	*	*	96.4	665	1077	
50	19.1	*	32.1	152	763	1816	
60	25.7	*	*	219	1129	1670	

100MW相当の 生産量600t/hを 超えるケース

ベースケース

:発散による計算停止により生産井数を4本に減じて対応

■:発散による計算停止により生産井数を2本に減じて対応

※:発散多発により自然状態計算時間10万年未達成

- 今回の数値モデル上で目標100MWを達成できるケースは、超臨界貯留層 の浸透率が20×10<sup>-15</sup>m<sup>2</sup>以上の場合という結果となった。
- 保守的・現実的な検討を行うため、代表例には、浸透率2×10<sup>-15</sup>m<sup>2</sup>, 底 面境界圧力50MPaAのケース(ベースケース)を使用した。

## 研究成果 資源量評価:派生的な検討

※蒸気流量・発電出力は、牛産開始20年後の値 熱源岩体内側 熱源岩体 超臨界貯留層からの生産(ベースケース) 従来型地熱貯留層 内側 蒸気量152t/h (25MW, 生産井5本) (安比地域)への影響評価 【結果】 安比地域 ▶ 熱源内側との同時生産では 熱源岩体 生産井数を増減させた場合 外側 影響はほとんど無し ⇒ 熱源外側の生産を加えても。 【結果】 1000 30年後付近からわずかな生 ▶ 生産井を3本以上としても、 産流量の低下が見られた程 蒸気量は頭打ちという結果 度。 1000 -2000 (w) EFEATION(m) 十分な熱量はあるが流体 AP-2 供給が追い付かない 経済的には生産井が少な い方が有利 熱源岩体外側に加熱で生じた 2000 天水起源の超臨界流体の生産 NW-SE (m) 2000

### 【結果】

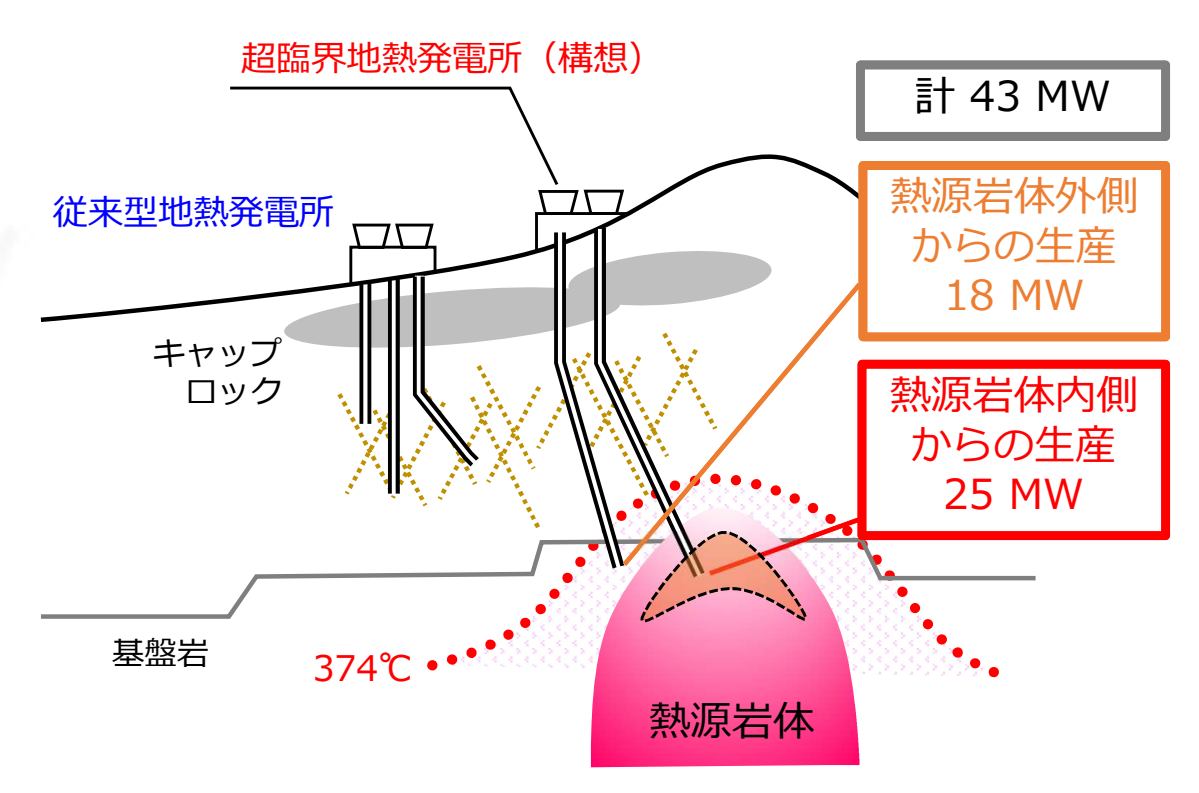
- 生産井を3本まで増やすと長期的な減衰傾向が認められた
- 蒸気量110t/h(18MW, 生産井3本)



# 研究成果 資源量評価のまとめ,経済性評価

- ▶ 自然シミュレーションを経て 妥当性を検証した数値モデル を使用し、熱源内部の浸透率等 の未知パラメータを変化させ、 資源量のとりうる範囲を評価。
- ▶ 保守的な設定(ベースケース)に おける試算値は43MWであった。 このケースでは、隣接する地熱 発電所に有意な影響を与えない と評価された。
- ▶ ただし、経済性評価の結果、掘削 等の想定費用を考慮すると、採算 が見込めるのはこのケースより 浸透率が1桁高く、発電出力 100MWを超えるケースであった。

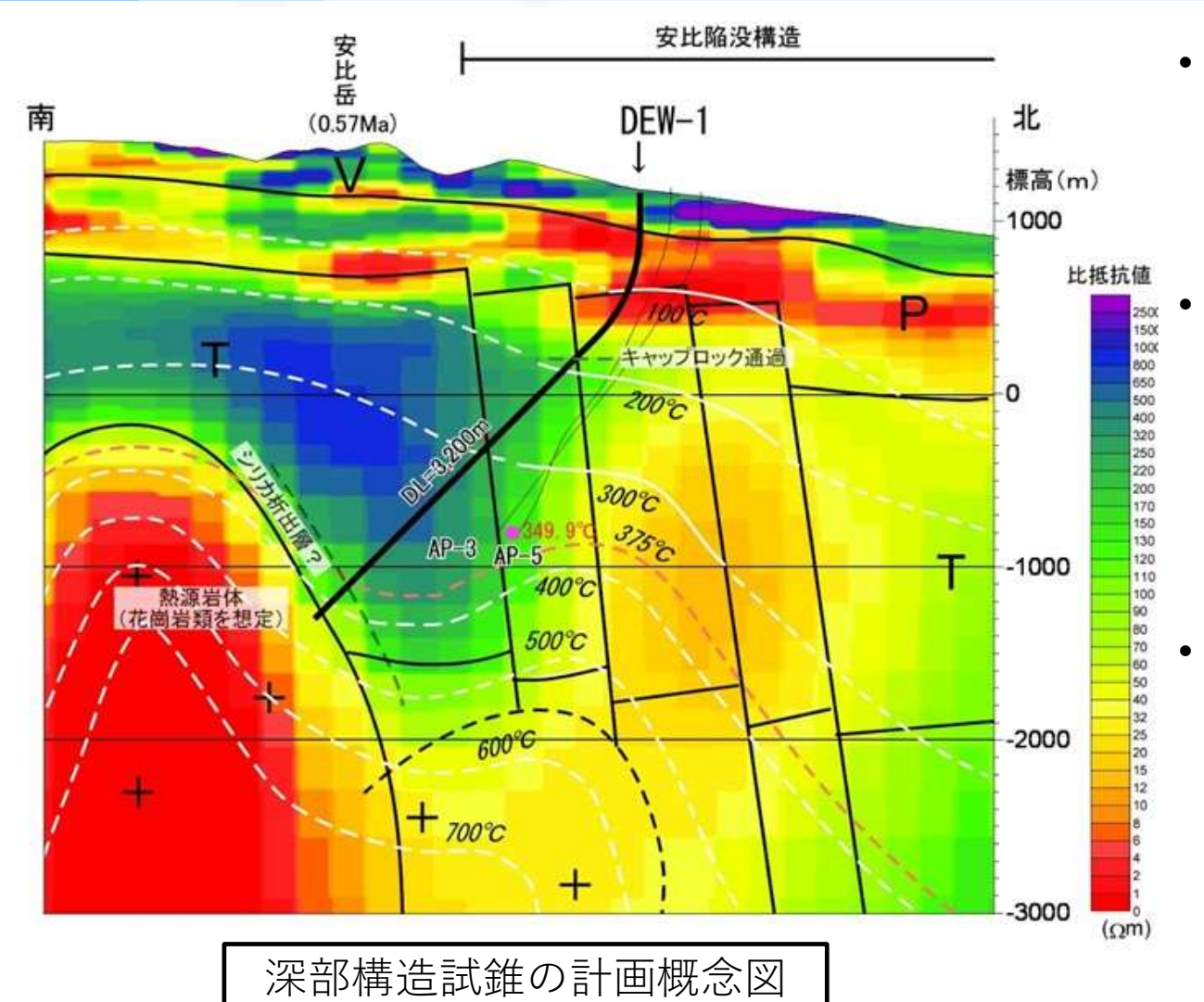
### ベースケースにおける資源量評価結果



※ベースケース:熱源岩体内部の超臨界貯留層 の浸透率2×10-15 m<sup>2</sup>, 底面境界圧力50 MPaA



## 研究成果調査井の掘削仕様



(掘削深度:3,200m)

- 本地域は、掘削用地の制約(地 形・自然公園等への環境配慮) から、調査井の掘削に比較的大 きな偏距を要する。
- 具体的な掘削仕様案として 深部構造調査試錐 3,200m 超臨界地熱調査井 3,800m の詳細な掘削仕様を作成し、 技術面・HSE面での課題の抽出、 費用試算等の検討を行った。
- 特に技術面について、深部構造 試錐は、現在一般的に使用され ている機材で対応可能と考える が、熱源内部への到達を目指す 超臨界地熱調査井では、想定さ れる高温・高圧に耐えうる資機 材の技術開発が必要。



## まとめ



- 目標とした超臨界領域の特定から資源量評価までの一連の手法開発は、 ひとつのアプローチとして提示することができた。
- 超臨界地熱資源の調査手法として、MT法電磁探査・微小地震観測の有効性を 示すことができた。
- 深部低比抵抗帯(熱源岩体)と安比地域(従来型地熱貯留層)の関係性を、 地熱流体の流動・加熱機構を検討する過程で説明付けることができたことから、 本地域の地熱系全体についての理解が深まった。
- ただし、超臨界貯留層(熱源の内部構造)に関する地質情報は、現時点では 地表調査やシミュレーションで特定することは難しく、試掘による調査の必要 性が改めて認識された。
- 今回作成した数値モデルを使用し、資源量評価・経済性評価を試行した。 100MW以上の発電が可能な熱的ポテンシャルを有すると評価される一方、 本地域で採算が取れるケースは、超臨界貯留層の浸透率がベースケース (2×10<sup>-15</sup>m²)より1桁程度は高い必要があるという結果となった。
- 調査井の掘削仕様を検討した。超臨界地熱調査井については、熱源岩体内側で 高圧の超臨界貯留層に遭遇すると考えられ、試掘の実現に向けた資機材の超高 圧仕様の資機材の開発・実用化が望まれる。 22 / 23



## ご清聴ありがとうございました

